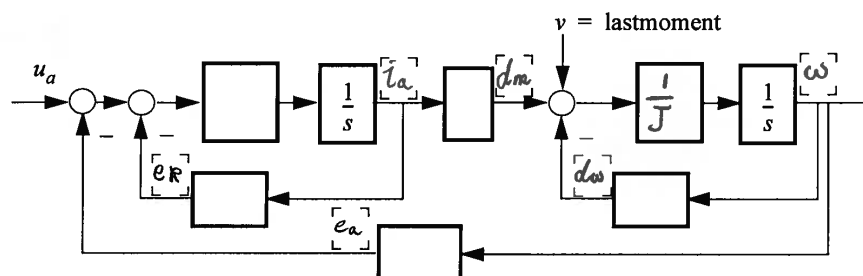


# Løsningsforslag eksamen TTK4105, Vår 2010

## Oppgave 1

Se side 347 i læreboka.



## Oppgave 2

a)

Fra vinkelhastighet til vinkelposisjon er det én integrasjon. Da er  $\theta = \frac{1}{s}\omega$ , og

$$\frac{\theta}{u_a}(s) = \frac{1}{s} \frac{\omega}{u_a}(s) = \frac{1}{s} \frac{1}{K_v \left(1 + \frac{JR_a}{K_v K_t} s + \frac{JL_a}{K_v K_t} s^2\right)}. \quad (1)$$

b)

Hvis  $L_a \ll R_a$  kan vi se bort fra  $s^2$ -leddet i nevneren til  $h_1(s)$  og skrive en  $h_2(s) \approx h_1(s)$  der

$$h_2(s) = \frac{1}{k_v \left(1 + \frac{JR_a}{K_v K_t} s\right)}. \quad (2)$$

Dermed blir tidskonstanten  $T = \frac{JR_a}{K_v K_t}$ .

c)

Vi ønsker en tilnærming  $h_3(s)$  som er et produkt av to førsteordensblokker. Hvis vi har  $R_a \gg L_a$  kan vi skrive

$$1 + \frac{JR_a}{K_v K_t} s + \frac{JL_a}{K_v K_t} s^2 \approx 1 + \left( \frac{JR_a}{K_v K_t} + \frac{L_a}{R_a} \right) s + \frac{JL_a}{K_v K_t} s^2, \quad (3)$$

og dermed løse ligningen

$$1 + \left( \frac{JR_a}{K_v K_t} + \frac{L_a}{R_a} \right) s + \frac{JL_a}{K_v K_t} s^2 = (1 + T_m s)(1 + T_a s) \quad (4)$$

$$= 1 + (T_m + T_a)s + T_m T_a s^2. \quad (5)$$

For å “matche” høyre og venstre side av likhetstegnet, velger vi  $T_m T_a = \frac{JL_a}{K_v K_t}$  og  $T_m + T_a = \left( \frac{JR_a}{K_v K_t} + \frac{L_a}{R_a} \right)$ . Da kommer vi fram til

$$T_m = \frac{JR_a}{K_v K_t} \quad (6)$$

$$T_a = \frac{L_a}{R_a}. \quad (7)$$

### Oppgave 3

a)

Vi har

$$\dot{x}_1 = x_2 \quad (8)$$

$$\dot{x}_2 = x_3 \quad (9)$$

$$\dot{x}_3 = u. \quad (10)$$

Dette kan skrives som

$$\begin{bmatrix} \dot{x}_1 \\ \dot{x}_2 \\ \dot{x}_3 \end{bmatrix} = \underbrace{\begin{bmatrix} 0 & 1 & 0 \\ 0 & 0 & 1 \\ 0 & 0 & 0 \end{bmatrix}}_{\mathbf{A}} \begin{bmatrix} x_1 \\ x_2 \\ x_3 \end{bmatrix} + \underbrace{\begin{bmatrix} 0 \\ 0 \\ 1 \end{bmatrix}}_{\mathbf{b}} u. \quad (11)$$

b)

$$\Phi(t) = e^{\mathbf{A}t}. \quad (12)$$

Rekkeutvikling av matriseeksponensialfunksjon:

$$e^{\mathbf{A}t} = \mathbf{I} + \mathbf{A}t + \frac{(\mathbf{A}t)^2}{2!} + \frac{(\mathbf{A}t)^3}{3!} + \dots \quad (13)$$

Finner  $\mathbf{A}^2$  og  $\mathbf{A}^3$ :

$$\mathbf{A}^2 = \begin{bmatrix} 0 & 1 & 0 \\ 0 & 0 & 1 \\ 0 & 0 & 0 \end{bmatrix} \begin{bmatrix} 0 & 1 & 0 \\ 0 & 0 & 1 \\ 0 & 0 & 0 \end{bmatrix} = \begin{bmatrix} 0 & 0 & 1 \\ 0 & 0 & 0 \\ 0 & 0 & 0 \end{bmatrix}, \quad (14)$$

og

$$\mathbf{A}^3 = \begin{bmatrix} 0 & 0 & 1 \\ 0 & 0 & 0 \\ 0 & 0 & 0 \end{bmatrix} \begin{bmatrix} 0 & 1 & 0 \\ 0 & 0 & 1 \\ 0 & 0 & 0 \end{bmatrix} = \begin{bmatrix} 0 & 0 & 0 \\ 0 & 0 & 0 \\ 0 & 0 & 0 \end{bmatrix}. \quad (15)$$

Altså er

$$\Phi(t) = \underline{\underline{\begin{bmatrix} 1 & t & \frac{t^2}{2} \\ 0 & 1 & t \\ 0 & 0 & 1 \end{bmatrix}}}. \quad (16)$$

## Oppgave 4

Impulsresponsen til 2. ordens systemet gitt i formelsamlingen er

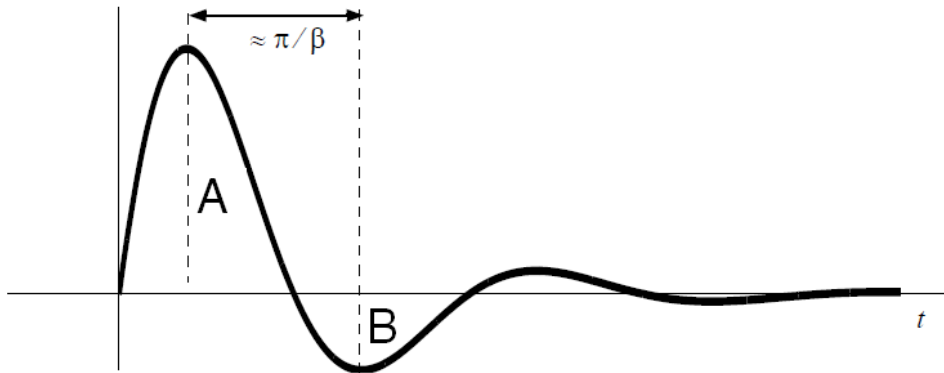
$$h(t) = K \frac{\omega_0^2}{\beta} e^{-\alpha t} \sin(\beta t). \quad (17)$$

Vi henter også fra formelsamlingen at for et slikt system er

$$\frac{\beta}{\sqrt{1 - \zeta^2}} = \sqrt{\alpha^2 + \beta^2}. \quad (18)$$

Vi måler følgende størrelser på figuren:

1. halvperioden  $\frac{\pi}{\beta}$
2. høyden av den toppen  $A$
3. høyden av bunnen  $B$ .



Vi får at  $A = 3.5$ ,  $B = 1.1$  og  $\frac{\pi}{\beta} = 2.5$ . Fra impulsresponsen ser vi at det er leddet  $e^{-\alpha t}$  som står for "decay"en i responsen. Fra målingene har vi at

$$e^{-\alpha \cdot 2.5} = \frac{1.1}{3.5} \Rightarrow \alpha = -\frac{1}{2.5} \ln\left(\frac{1.1}{3.5}\right) = 0.463. \quad (19)$$

Fra  $\frac{\pi}{\beta} = 2.5$  har vi  $\beta = 1.2566$ , og fra  $\frac{\beta}{\sqrt{1-\zeta^2}} = \sqrt{\alpha^2 + \beta^2}$  har vi at  $\zeta = \sqrt{1 - \frac{\beta^2}{\alpha^2 + \beta^2}}$ .  
Altså er

$$\zeta = \sqrt{1 - \frac{1.2566^2}{0.463^2 + 1.2566^2}} = 0.3457. \quad (20)$$

## Oppgave 5

a)

Benytter Newtons lov:

$$\sum F = ma = m\ddot{w}. \quad (21)$$

I oppgaveteksten er sammenhengen mellom kreftene gitt slik at differensialligningen kan settes opp:

$$\sum F = C_1 g - C_2 w^2 = m\ddot{w} \quad (22)$$

$$\Rightarrow \frac{C_1}{m} g - \frac{C_2}{m} w^2 = \ddot{w} \quad (23)$$

$$\ddot{w} = C_G g - C_W w^2, \text{ der } C_G = \frac{C_1}{m} \text{ og } C_W = \frac{C_2}{m}. \quad (24)$$

b)

Den maksimale hastigheten finnes ved stasjonære forhold, dvs  $\dot{w} = 0$ .

$$\dot{w} = 0 \Rightarrow C_G g_{\max} - C_W w_{\max}^2 \Rightarrow \underline{\underline{w_{\max} = \sqrt{\frac{C_G g_{\max}}{C_W}}}}. \quad (25)$$

c)

Vi har  $\dot{g} = K_p(r - w)$ , som gir  $g(t) = K_p \int_0^t (r - w) d\tau$ . Dette er en I-regulator. Etter innsvingningstiden blir  $\dot{g} = 0$ .

$$\dot{g} = 0 \Rightarrow K_p(r - w) = 0 \Rightarrow r = w, \quad (26)$$

altså, vi oppnår referansen til tross for forstyrrelse fra friksjon og luftmotstand.

d)

Finner  $g_0$  som uttrykk av  $w_0$  vha ligningen fra a):

$$0 = C_G g_0 - C_W w_0^2 \Rightarrow \underline{\underline{g_0 = \frac{C_W}{C_G} w_0^2}}. \quad (27)$$

Med  $x_1 = w$  og  $x_2 = g$  kan vi skrive

$$\dot{x}_1 = C_g x_2 - C_W x_1^2 = f_1(\underline{x}, r) \quad (28)$$

$$\dot{x}_2 = -K_p x_1 + K_p r = f_2(\underline{x}, r). \quad (29)$$

Den lineariserte modellen finnes ved hjelp av formlene fra formelsamlingen in-satt arbeidspunktet  $(\underline{x}_0, r_0)$ .

$$\Delta \dot{\underline{x}} = \begin{bmatrix} \frac{\partial f_1}{\partial x_1} & \frac{\partial f_1}{\partial x_2} \\ \frac{\partial f_2}{\partial x_1} & \frac{\partial f_2}{\partial x_2} \end{bmatrix} \Delta \underline{x} + \begin{bmatrix} \frac{\partial f_1}{\partial r} \\ \frac{\partial f_2}{\partial r} \end{bmatrix} \Delta r. \quad (30)$$

$$\frac{\partial f_1}{\partial x_1} = -2C_W x_1 \quad (31)$$

$$\frac{\partial f_1}{\partial x_2} = C_G \quad (32)$$

$$\frac{\partial f_2}{\partial x_1} = -K_p \quad (33)$$

$$\frac{\partial f_2}{\partial x_2} = 0 \quad (34)$$

$$\frac{\partial f_1}{\partial r} = 0 \quad (35)$$

$$\frac{\partial f_2}{\partial r} = K_p. \quad (36)$$

Vi får dermed følgende modell når vi setter inn arbeidspunktet  $(\underline{x}_0, r_0)$ :

$$\underline{\Delta \dot{x}} = \begin{bmatrix} -2C_W w_0 & C_G \\ -K_p & 0 \end{bmatrix} \underline{\Delta x} + \begin{bmatrix} 0 \\ K_p \end{bmatrix} \Delta r. \quad (37)$$

e)

Eigenverdiene finnes fra  $|\lambda I - A| = 0$ :

$$\lambda(\lambda + 2C_W w_0) + K_p C_G = 0 \Rightarrow \underline{\underline{\lambda_{1,2} = -C_W w_0 \pm \sqrt{C_W^2 w_0^2 - K_p C_G}}}. \quad (38)$$

Ved lave hastigheter (når  $C_W w_0^2 < K_p C_G$ ) blir systemet marginalt stabilt med to poler på imaginæraksen. Ved høye hastigheter er systemet eksponensielt stabilt med to poler i venstre halvplan.

e)

Dersom bilen kjører langsomt har vi  $w_0^2 \approx 0$ . Da blir modellen (laPlace-transformert)

$$s\Delta w(s) = C_G \Delta g(s) \quad (39)$$

$$s\Delta g(s) = K_p (\Delta r(s) - \Delta w(s)). \quad (40)$$

Substituerer man for  $\Delta g(s)$ , får man

$$s\Delta w(s) = C_G \left( \frac{K_p}{s} \Delta r(s) - \frac{K_p}{s} \Delta w(s) \right) \quad (41)$$

$$\frac{\Delta w}{\Delta r}(s) = \frac{C_G K_p}{s^2 + C_G K_p}. \quad (42)$$

Dette systemet har (formelsamlingen) sprangrespons  $k(t) = K(1 - \cos(\omega_0 t))$ , der  $K = 1$  og  $\omega_0 = \sqrt{C_G K_p}$ . Altså, dersom spranget er på  $\Delta r$ , blir responsen

$$\underline{\underline{\Delta w(t) = \Delta r \left(1 - \cos(\sqrt{C_G K_p} t)\right)}}. \quad (43)$$

## Oppgave 6

Ved bruk av diskret regulator introduseres en tidsforsinkelse på ca. halve taste-tiden. Dette må vi ta hensyn til ved regulatorsyntese, da tidsforsinkelse skyver fasen i negativ retning og vi må ta litt større marginer.

## Oppgave 7

a)

Proessen har en pol i høyrehalvplan (ved  $s = a$ ) og er dermed åpent ustabil.

b)

Da den åpne sløyfes transferfunksjon  $h_0(s)$  har én pol i høyre halvplan, tilsier Nyquists stabilitetskriterium at polarkurven må omslutte punktet  $(-1, 0)$  én gang mot urviseren. Dermed ser vi at for tilfelle 1, der  $T < \frac{1}{a}$ , er prosessen stabil hvis  $K_p > a$ . I tilfelle 2 blir prosessen ikke stabil selv om  $K_p$  økes til  $K_p > a$ , da kurven går i feil retning, og introduserer dermed en ny pol i hhp.

c)

Her koker Routh's kriterium ned til å se på

$$n_0(s) + t_0(s) = Ts^2 + (1 - aT)s + K_p - a. \quad (44)$$

Her ser vi umiddelbart at dersom alle ledd skal ha samme fortegn (positivt), så er kriteriene

$$\underline{\underline{T < \frac{1}{a}}} \text{ og } \underline{\underline{K_p > a}}. \quad (45)$$

d)

I følge Nyquists kriterium er antall poler i høyre halvplan for det lukkede systemet (med tilbakekopling) lik antall poler i hhp for det åpne systemet minus antall omslutninger av punktet  $(-1, 0)$  mot urviseren. Vi ser i kurven for tilfelle 2 at for  $K_p < a$  omslutter ikke kurven punktet -1, og dermed står vi igjen med 1 pol i hhp. Der  $K_p > a$  får vi -1 omslutninger mot urviseren, altså er antall poler i hhp 2.

Ved bruk av Routh's kriterium ser vi på antall "skift" i fortegn til det karakteristiske polynom, når man ser på fortegne til alle ledd fra venstre til høyre. Ser vi på polynomet  $Ts^2 + (1 - aT)s + K_p - a$ , der  $1 - aT < 0$ , er det første leddet positivt, det andre leddet negativt, og det tredje leddet positivt hvis  $K_p > a$ . Da får vi mønsteret + - - for  $K_p < a$ , altså, et skift i fortegn, og én pol i hhp. Dersom  $K_p > a$ , får vi mønsteret + - + og dermed to skift  $\Rightarrow$  to poler i hhp.

## Oppgave 8

a)

Dette er en begrenset PD-regulator. Denne er nødvendig her da prosessen  $h_u(s)$  har to rene integratorer i seg. Dermed blir faseresponsen  $-180^\circ$  fra starten av, og vi trenger et tidlig nullpunkt for å løfte den opp.

b)

Ved  $y_0 = 0$  har vi

$$y(s) = \frac{1}{s^2(1 + T_1s)} (v(s) + h_R(-y(s))) \quad (46)$$

$$y(s) \left( 1 + h_R \frac{1}{s^2(1 + T_1s)} \right) = \frac{1}{s^2(1 + T_1s)} v(s) \quad (47)$$

$$y(s) = \frac{\frac{1}{s^2(1+T_1s)}}{1 + K_p \frac{1+T_d s}{1+\alpha T_d s} \frac{1}{s^2(1+T_1s)}} v(s) \quad (48)$$

$$= \frac{1}{s^2(1 + T_1s) + K_p \frac{1+T_d s}{1+\alpha T_d s}} v(s) \quad (49)$$

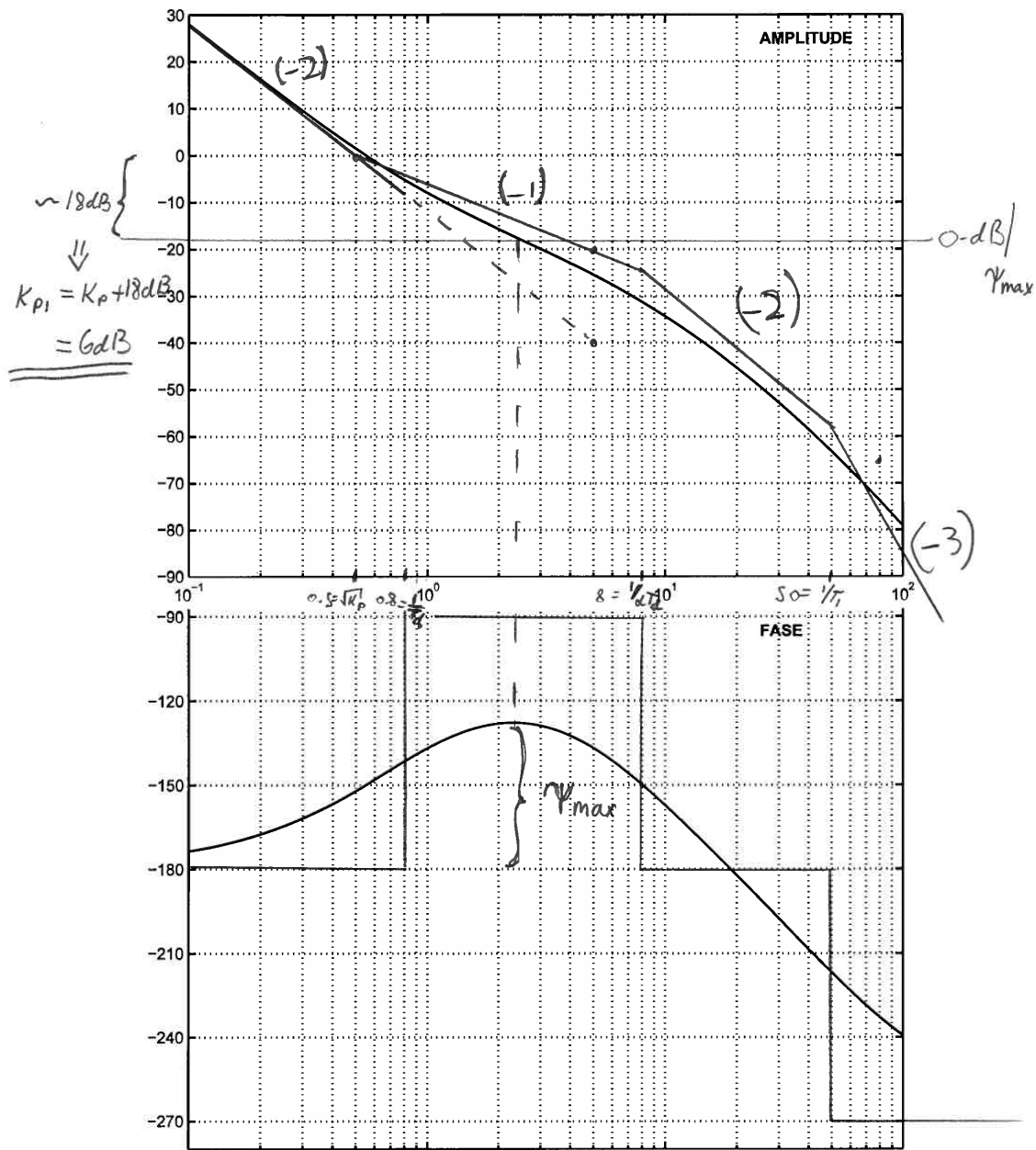
Ved å sette  $v(s) = \frac{1}{s}$  og bruke sluttverditeoremet, får vi

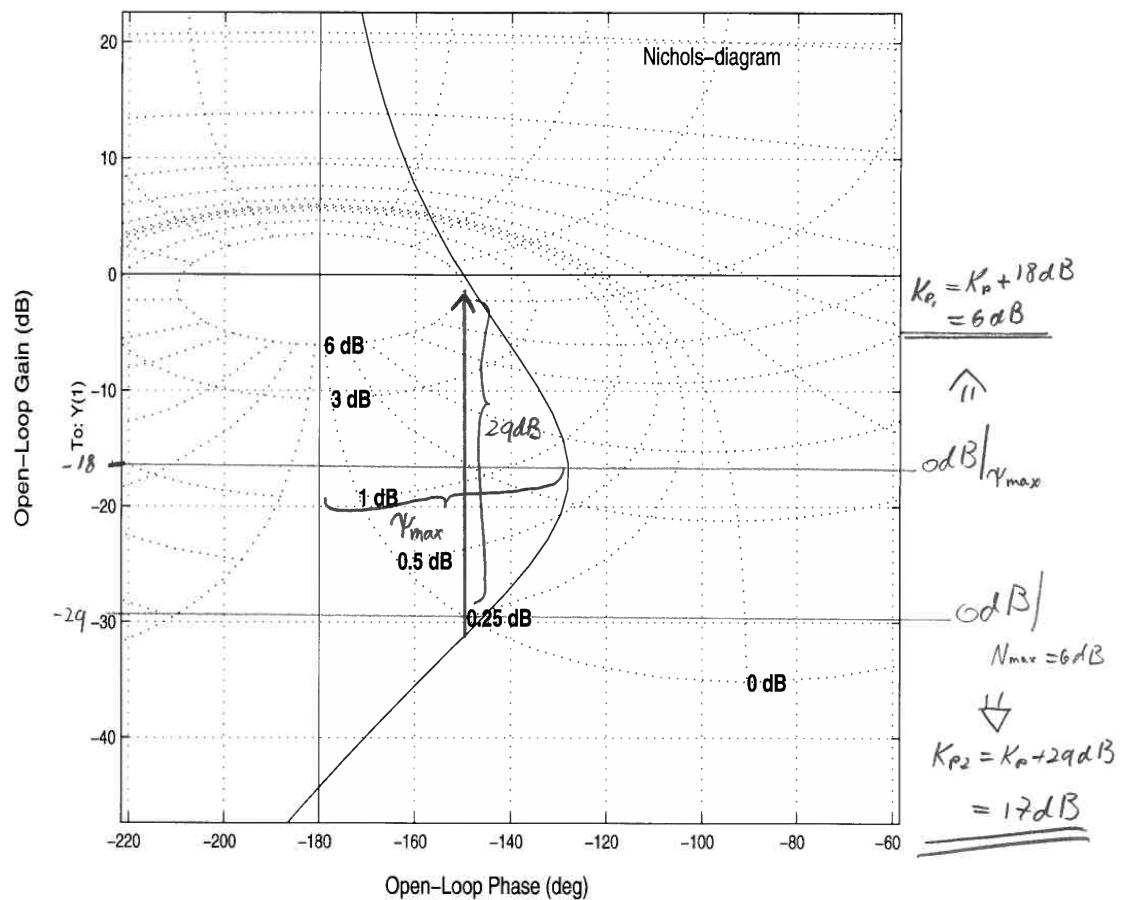
$$y(t \rightarrow \infty) = \lim_{s \rightarrow 0} s \frac{1}{s^2(1 + T_1s) + K_p \frac{1+T_d s}{1+\alpha T_d s}} \frac{1}{s} = \frac{1}{K_p}, \quad (50)$$



altså blir  $e(t \rightarrow \infty) = -\frac{1}{K_p}$ .

c,d)





e)

Den interne sløyfen har åpen-sløyfetransferfunksjon  $h_{01} = \frac{K_1}{s(1+T_1s)}$ . Vi har at feilforholdet  $N_1(s) = \frac{1}{1+h_{01}(s)}$ . Altså er

$$N_1(s) = \frac{1}{1 + \frac{K_1}{s(1+T_1s)}} = \frac{s(1+T_1s)}{s(1+T_1s) + K_1}. \quad (51)$$

Av figuren ser vi at  $h_v(s) = \frac{1}{s(1+T_1s)}$ .

f)

$$M_1(s) = \frac{h_{01}(s)}{1 + h_{01}(s)} = \frac{\frac{K_1}{s(1+T_1s)}}{1 + \frac{K_1}{s(1+T_1s)}} = \frac{K_1}{s(1+T_1s) + K_1}. \quad (52)$$

Vi kan nå bruke integralvirkning i  $h_R(s)$  da “prosessen” vi nå regulerer er  $\frac{M_1(s)}{s}$ , og den har bare én ren integrator i seg. Vi kan også skru opp forsterkningen  $K_1$  i den interne blokken og dermed oppnå raskere respons.